



Physik der Kondensierten Materie 1

**Rudolf Gross
WS 2020/2021
Teil 14**

Vorlesungsstunde: 17.12.2020

Zusammenfassung: Teil 13, 15.12.2020/1

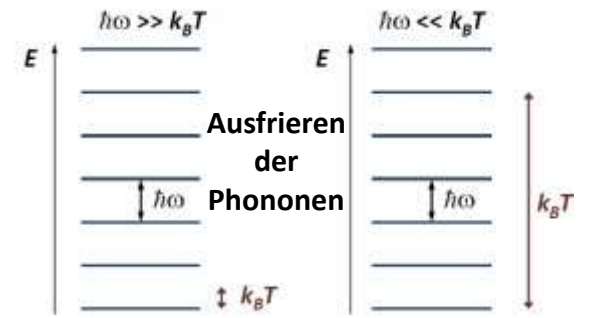
- **Wärmekapazität des Kristallgitters** (Basis mit r' Atomen $\rightarrow 3r' \cdot N = r \cdot N$ Schwingungsmoden)

- **quantenmechanische Betrachtung** $r = 1, \dots, 3r'$ (Zweige)

$$\langle U \rangle = U^{eq} + \sum_{\mathbf{q}, r} \hbar \omega_{\mathbf{q}r} \left(\langle n_{\mathbf{q}, r} \rangle + \frac{1}{2} \right)$$

$$\langle n_{\mathbf{q}, r} \rangle = \frac{1}{e^{\hbar \omega_{\mathbf{q}, r} / k_B T} - 1}$$

Besetzungszahl:
Bose-Einstein-Verteilung



thermisch angeregte Gitterschwingungen

Nullpunktsschwingungen

$$\rightarrow C_V = \frac{\partial \langle U \rangle}{\partial T} \Big|_V = \sum_{\mathbf{q}, r} \frac{\partial}{\partial T} \frac{\hbar \omega_{\mathbf{q}r}}{e^{\hbar \omega_{\mathbf{q}r} / k_B T} - 1}$$

$$\sum_{\mathbf{q}, r} \rightarrow \sum_r \int_{1.BZ} d^3q Z(\mathbf{q}) = \sum_r \frac{V}{(2\pi)^3} \int_{1.BZ} d^3q$$

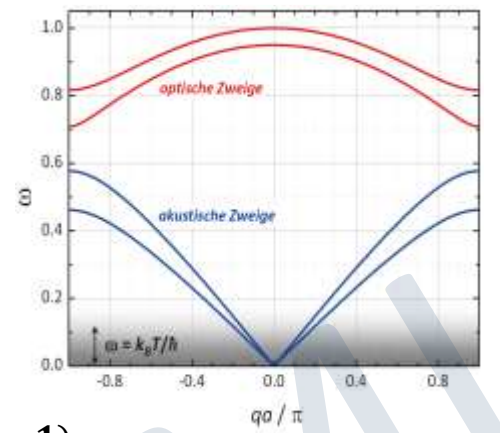
(i) $k_B T \gg \hbar \omega_{\mathbf{q}r}$:

$$C_V = 3r' N k_B$$

(ii) $k_B T \ll \hbar \omega_{\mathbf{q}r}$

und für lineare Dispersionsrelation $\omega = v_s q$
 v_s = mittlere Schallgeschwindigkeit

$$C_V = V \frac{2\pi^2}{5} k_B \left(\frac{k_B T}{\hbar v_s} \right)^3$$



- **Einstein-Modell:** $\omega = \omega_E = \text{const.} \rightarrow D(\omega) = 3N \delta(\omega - \omega_E)$, $U = 3N \hbar \omega_E \langle n \rangle$, $\Theta_E = \hbar \omega_E / k_B$ ($r' = 1$)

$$C_V^E = 3N k_B \left(\frac{\Theta_E}{T} \right)^2 \frac{\exp(\Theta_E/T)}{[\exp(\Theta_E/T) - 1]^2}$$

$$C_V^E = \begin{cases} 3N k_B (\Theta_E/T)^2 \exp(-\Theta_E/T) & \text{für } T \ll \Theta_E \\ 3N k_B & \text{für } T \gg \Theta_E \end{cases}$$

- **Debye-Modell:** $\omega = v_s q \rightarrow D(\omega) \propto \omega^2$ ($r' = 1$, v_s = mittlere Schallgeschwindigkeit)

$$N \left(\frac{2\pi}{L} \right)^3 = \frac{4}{3} \pi q_D^3$$

$$\rightarrow q_D = \left(6\pi^2 \frac{N}{V} \right)^{1/3}$$

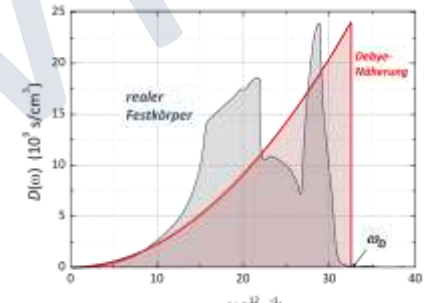
Debye-Wellenzahl

$$\rightarrow \omega_D = v_s q_D$$

Debye-Frequenz

$$\rightarrow \Theta_D = \frac{\hbar \omega_D}{k_B} = \frac{\hbar v_s}{k_B} \left(6\pi^2 \frac{N}{V} \right)^{1/3}$$

Debye-Temperatur



Zusammenfassung: Teil 13, 15.12.2020/2

- **Debye-Modell:** $\omega = v_s q \rightarrow D(\omega) \propto \omega^2$ ($r' = 1$)

$$C_V^D = 9Nk_B \left(\frac{T}{\Theta_D}\right)^3 \int_0^{\Theta_D/T} \frac{x^4 e^x}{[e^x - 1]^2} dx \quad x \equiv \frac{\hbar v_s}{k_B T} q \quad C_V^D = \begin{cases} \frac{12\pi^4}{5} Nk_B \left(\frac{T}{\Theta_D}\right)^3 & \text{für } T \ll \Theta_D \\ 3Nk_B & \text{für } T \gg \Theta_D \end{cases}$$

- **anschauliche Erklärung für T^3 -Gesetz:**
 - bei tiefen T : alle Zustände bis $\hbar\omega \simeq k_B T$ besetzt $\rightarrow T$ -Erhöhung liefert **neue Zustände**: $D(\omega)d\omega \simeq D(\omega)k_B dT/\hbar$
 \rightarrow Änderung der inneren Energie: $dU = \hbar\omega D(\omega) k_B dT/\hbar$
 - mit $D(\omega) \propto \omega^2$ folgt: $dU \propto \omega^3 dT \rightarrow C_V = dU/dT \propto \omega^3 \propto T^3$
 - bei hohen T sind alle Zustände besetzt $\rightarrow T$ -Erhöhung liefert **keine neuen Zustände**, sondern nur Änderung der Besetzungszahl: $\langle n \rangle \simeq k_B T/\hbar\omega \propto T \rightarrow C_V = dU/dT = \text{const.}$

- **Anharmonische Effekte:** $U = U_0 + au^2 - bu^3 - cu^4$ mit $a, b, c \geq 0$

- resultieren in:
- thermischer Ausdehnung
 - p - und T -Abhängigkeit der elastischen Konstanten
 - $c_p \neq c_v$
 - WW zwischen Gitterschwingungen

Rückstellkraft $F = -\frac{\partial U}{\partial x}$ ist nicht mehr linear in Auslenkung u

- Superpositionsprinzip gilt nicht mehr
- 3- (und mehr) Phononen-Prozesse werden möglich

$$\hbar\omega_1 + \hbar\omega_2 = \hbar\omega_3$$

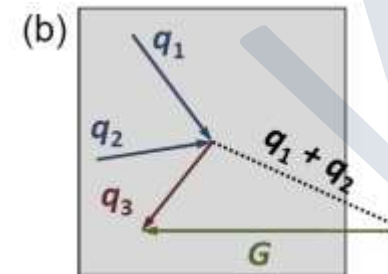
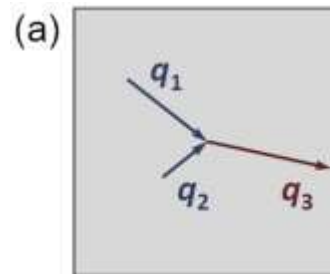
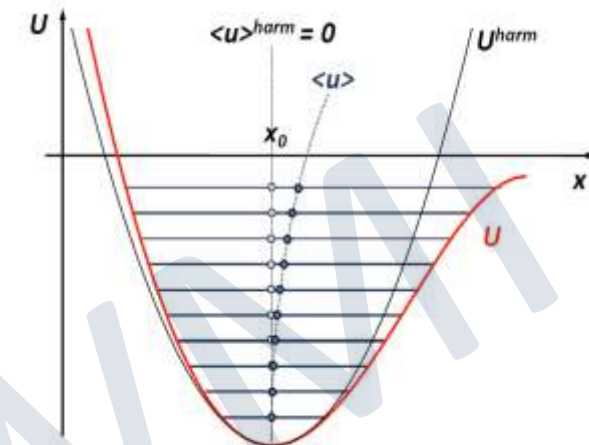
$$\mathbf{q}_1 + \mathbf{q}_2 = \mathbf{q}_3 + \mathbf{G}$$

nach Rudolf Peierls:

$$\mathbf{G} = \mathbf{0} \rightarrow \text{Normalprozess (a)}$$

$$\mathbf{G} \neq \mathbf{0} \rightarrow \text{Umklappprozess (b)}$$

- Phonon-Phonon-Wechselwirkung (z.B. Streuung)



6.3 Thermische Ausdehnung

- thermische Ausdehnung ist aus Alltag wohlbekannt
 → nicht erklärbar in harmonischer Näherung

- Definition:

$$\alpha_L \equiv \frac{1}{L} \left. \frac{\partial L}{\partial T} \right|_p \quad (\text{Längenausdehnung})$$

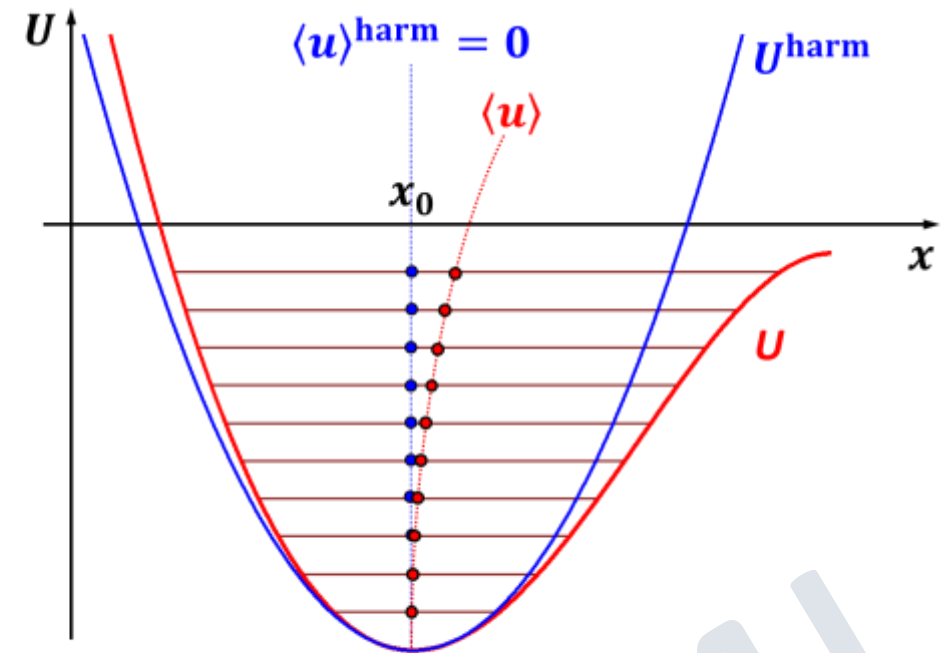
$$\alpha_V \equiv \frac{1}{V} \left. \frac{\partial V}{\partial T} \right|_p = 3\alpha_L \quad (\text{Volumenausdehnung})$$

typische Werte: $\alpha_L \approx 10^{-5}$

da $\Delta a \ll a$ gilt für isotrope und kubische Systeme:

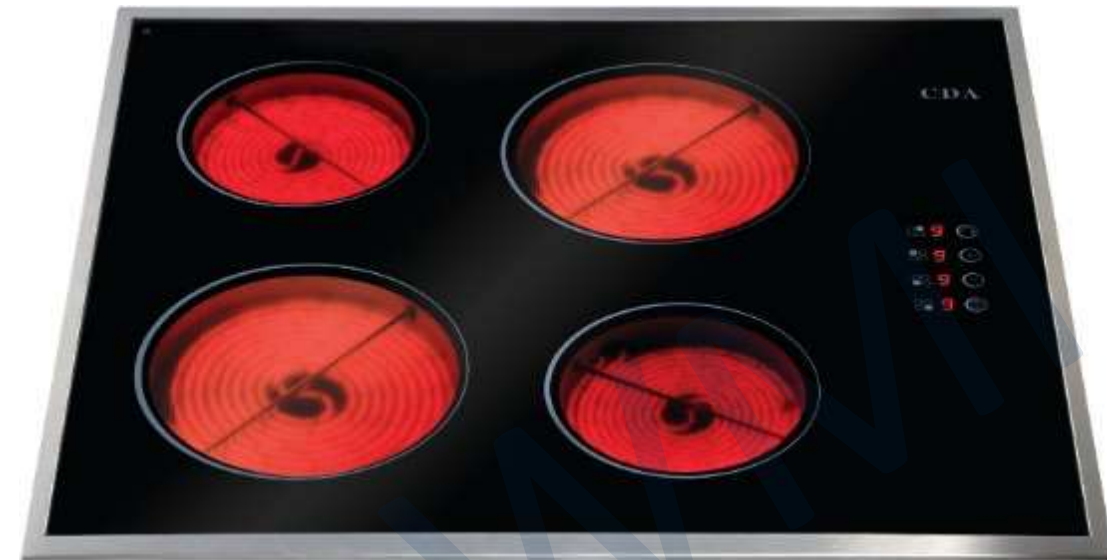
$$\Delta V = (a + \Delta a)^3 - a^3 = a^3 + 3a^2\Delta a + \dots - a^3 \approx 3a^2\Delta a$$

$$\alpha_V = \frac{\Delta V}{V} = \frac{3a^2\Delta a}{a^3} = 3 \frac{\Delta a}{a} = 3\alpha_L$$



6.3 Thermische Ausdehnung

| Bezeichnung | Längenausdehnung von 1m langen, festen Stoffen bei Erwärmung um 1 ° C. |
|-----------------------|---|
| Aluminium, gewalzt | 0,023 mm |
| Diamant | 0,0013 mm |
| Eisen | 0,012 mm |
| Glas (Fensterglas) | 0,008 mm |
| Gold | 0,014 mm |
| Granit | 0,003 mm |
| Holz, Eiche | 0,0081 mm |
| Kupfer | 0,017 mm |
| Platin | 0,009 mm |
| Porzellan | 0,003 mm |
| Silber | 0,019 mm |
| Stahl | 0,013 mm |
| Ceran | < 0,00002 mm |



$$\kappa = 1,46 \text{ W}/(\text{m} \cdot \text{K})$$

6.3.1 Mittlere Auslenkung

- wir betrachten zunächst die mittlere Auslenkung $\langle u \rangle$ für einen 1D anharmonischen Oszillator

- Definition des thermodynamischen Mittelwerts:

$$\langle u \rangle = \frac{\int_{-\infty}^{\infty} du \, u \, e^{-U(u)/k_B T}}{\int_{-\infty}^{\infty} du \, e^{-U(u)/k_B T}}$$

$$U(u) = U_0 + au^2 - bu^3 - cu^4 + \dots \quad \text{mit } a, b, c \geq 0$$

- wir nutzen aus, dass anharmonische Terme $-bu^3$ und $-cu^4$ klein sind gegenüber au^2
 → entwickeln der e-Funktion

$$e^{-\beta(au^2 - bu^3 - cu^4 + \dots)} = e^{-\beta au^2} \cdot e^{\beta(bu^3 + cu^4 - \dots)} \simeq e^{-\beta au^2} \cdot [1 + \beta bu^3 + \beta cu^4 - \dots] \quad \beta = 1/k_B T$$

- für Zähler in Ausdruck für $\langle u \rangle$ erhalten wir:

$$\int_{-\infty}^{\infty} du \, u \, e^{-\beta U(u)} = \int_{-\infty}^{\infty} du \, e^{-\beta au^2} \cdot [u + \beta bu^4 + \beta cu^5 - \dots] = \int_{-\infty}^{\infty} du \, u \, e^{-\beta au^2} + \int_{-\infty}^{\infty} du \, \beta bu^4 \, e^{-\beta au^2} + \int_{-\infty}^{\infty} du \, \beta cu^5 \, e^{-\beta au^2} - \dots$$

- für Nenner in Ausdruck für $\langle u \rangle$ erhalten wir:

$$\int_{-\infty}^{\infty} du \, e^{-\beta U(u)} = \int_{-\infty}^{\infty} du \, e^{-\beta au^2} \cdot [1 + \beta bu^3 + \beta cu^4 - \dots] = \int_{-\infty}^{\infty} du \, e^{-\beta au^2} + \int_{-\infty}^{\infty} du \, \beta bu^3 \, e^{-\beta au^2} + \int_{-\infty}^{\infty} du \, \beta cu^4 \, e^{-\beta au^2} - \dots$$

6.3.1 Mittlere Auslenkung

- Auswertung der Integrale

- Integrale mit ungeraden Potenzen verschwinden aus Symmetriegründen, die anderen ergeben:

$$\left. \begin{aligned} \int_{-\infty}^{\infty} du \beta b u^4 e^{-\beta a u^2} &= \frac{3\sqrt{\pi}}{4} b \frac{\beta}{(\beta a)^{5/2}} \\ \int_{-\infty}^{\infty} du e^{-\beta a u^2} &= \frac{\sqrt{\pi}}{(\beta a)^{1/2}} \end{aligned} \right\} \langle u \rangle = \frac{3b}{4a^2} k_B T$$

- relative Längenänderung $\langle u \rangle / R_0$ ($R_0 =$ Gleichgewichtsabstand)

$$\alpha_L \equiv \frac{1}{R_0} \frac{\partial \langle u \rangle}{\partial T} \Big|_p = \frac{3b}{4a^2} \frac{k_B}{R_0}$$

- ➔ thermische Ausdehnung wird Null, wenn $b = 0$, d.h. wenn Potenzial symmetrisch bezüglich R_0 ist
- ➔ thermische Ausdehnung wird klein wenn „Federkonstante“ a , die harmonisches Potenzial beschreibt, groß ist

6.3.2 Vertiefungsthema: Zustandsgleichung und thermische Ausdehnung

- Messung der thermischen Ausdehnung für $p = \text{const.}$

$$F = U - TS \quad \Rightarrow \quad \left(\frac{\partial F}{\partial V}\right)_T = \left(\frac{\partial U}{\partial V}\right)_T - T \left(\frac{\partial S}{\partial V}\right)_T \quad \Rightarrow \quad p = - \left(\frac{\partial F}{\partial V}\right)_T$$

$$dQ = dU + pdV = TdS \quad \Rightarrow \quad T \left(\frac{\partial S}{\partial V}\right)_T = \left(\frac{\partial U}{\partial V}\right)_T + p$$

- Ausdrücken der freien Energie F als Funktion der inneren Energie U

$$TdS = dQ = dU + pdV \quad \Rightarrow \quad T \left(\frac{\partial S}{\partial T}\right)_V = \left(\frac{\partial U}{\partial T}\right)_V$$

$$\Rightarrow \quad p = - \frac{\partial}{\partial V} \left[U - T \int_0^T \frac{\partial T'}{T'} \frac{\partial}{\partial T'} U(T', V) \right]$$

Mit $\langle U \rangle = U^{\text{eq}} + \sum_{\mathbf{q}r} \frac{1}{2} \hbar \omega_{\mathbf{q}r} + \sum_{\mathbf{q}r} \frac{\hbar \omega_{\mathbf{q}r}}{e^{\frac{\hbar \omega_{\mathbf{q}r}}{k_B T}} - 1}$ erhalten wir (nach einigen Rechenschritten)

$$\Rightarrow \quad p = -B \frac{\delta V}{V} - \frac{\partial}{\partial V} \sum_{\mathbf{q}r} \frac{1}{2} \hbar \omega_{\mathbf{q}r} - \hbar \sum_{\mathbf{q}r} \frac{\partial \omega_{\mathbf{q}r}}{\partial V} \frac{1}{e^{\frac{\hbar \omega_{\mathbf{q}r}}{k_B T}} - 1}$$

- Thermische Ausdehnung

$$\alpha_L = \frac{1}{L} \left(\frac{\partial L}{\partial T} \right)_p = \frac{1}{3V} \left(\frac{\partial V}{\partial T} \right)_p = -\frac{1}{3V} \left(\frac{\partial V}{\partial p} \right)_T \left(\frac{\partial p}{\partial T} \right)_V = \frac{1}{3B} \left(\frac{\partial p}{\partial T} \right)_V$$

mit $p = -B \frac{\delta V}{V} - \frac{\partial}{\partial V} \sum_{\mathbf{q},r} \frac{1}{2} \hbar \omega_{\mathbf{q},r} - \hbar \sum_{\mathbf{q},r} \frac{\partial \omega_{\mathbf{q},r}}{\partial V} \frac{1}{e^{\frac{\hbar \omega_{\mathbf{q},r}}{k_B T}} - 1}$

→
$$\alpha_L = -\frac{1}{3B} \sum_{\mathbf{q},r} \left(-\frac{\partial}{\partial V} \hbar \omega_{\mathbf{q},r} \right) \frac{\partial}{\partial T} n_r(\mathbf{q})$$

$$\alpha_L = \frac{\gamma c_V}{3B}$$

$$\alpha_V = \frac{\gamma c_V}{B}$$

mit $\gamma \equiv \frac{\sum_{\mathbf{q},r} \gamma_{\mathbf{q},r} c_{V,r}(\mathbf{q})}{\sum_{\mathbf{q},r} c_{V,r}(\mathbf{q})}$

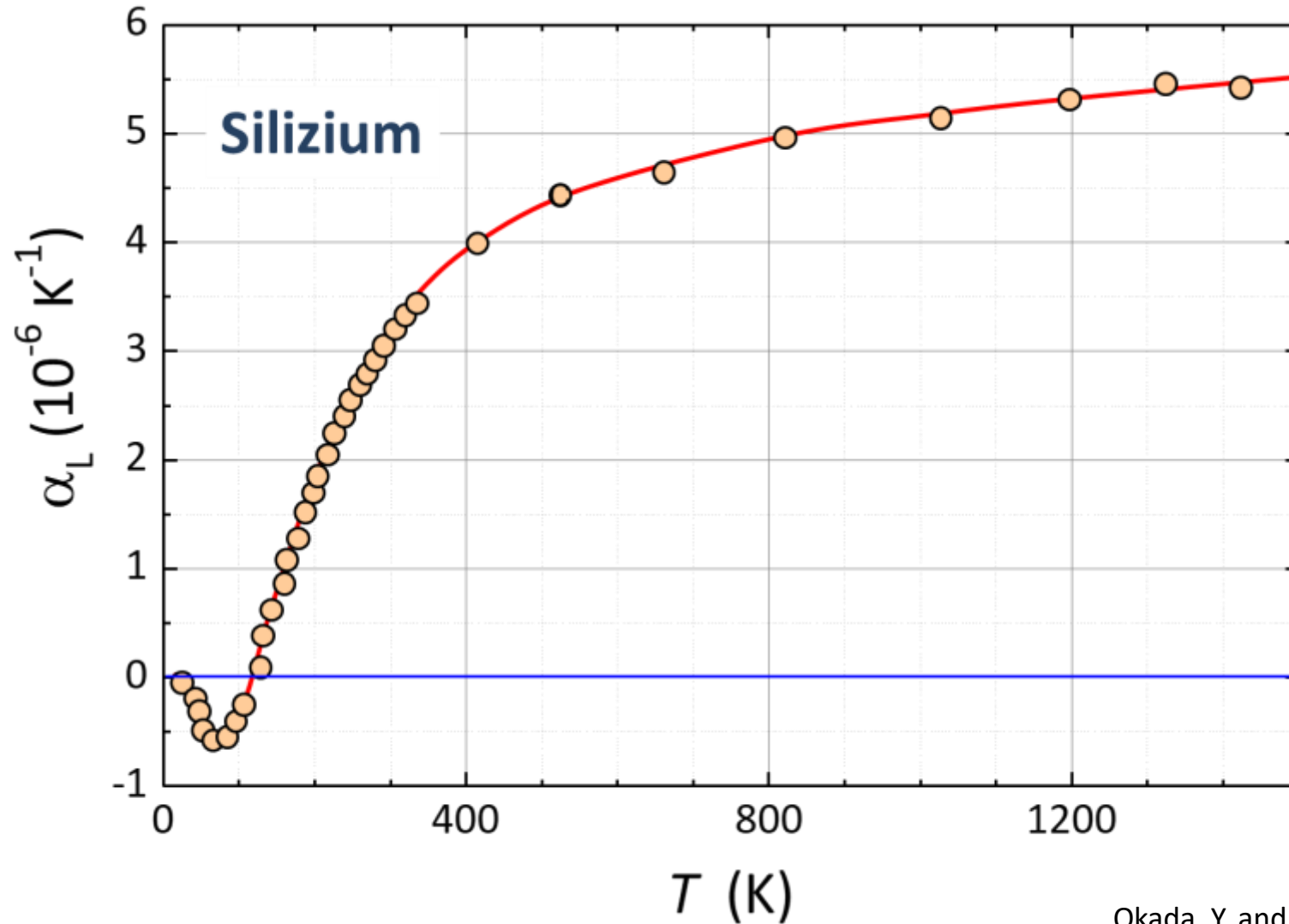
B = Bulkmodul, c_V = spezifische Wärmekapazität
da B schwach von T abhängt, folgt $\alpha_L(T)$ in etwa $c_V(T)$

$$\gamma_{\mathbf{q},r} \equiv -\frac{V}{\omega_r(\mathbf{q})} \frac{\partial \omega_r(\mathbf{q})}{\partial V} = -\frac{\partial(\ln \omega_r(\mathbf{q}))}{\partial(\ln V)}$$

Grüneisen-Parameter

6.3.1 Mittlere Auslenkung

- Thermische Ausdehnung von Silizium



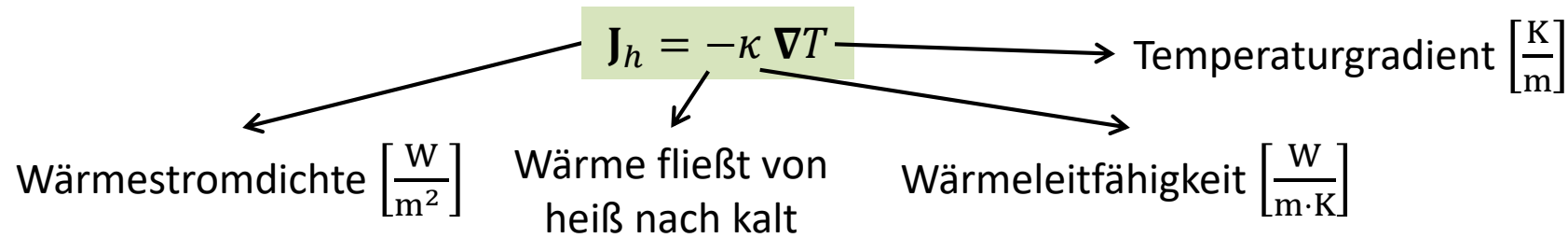
Okada, Y. and Y. Tokumaru, *J. Appl. Phys.* **56**, 2 (1984) 314-320.

- **Allgemeine Bemerkungen:**
 - Wärmeleitfähigkeit ist **kein Gleichgewichtsphänomen**
(genauere Diskussion von Transportphänomenen folgt später → Boltzmann-Transportgleichung)
 - Wärmeleitfähigkeit ist **lineare Antwortgröße**:
Störung = Temperaturgradient, Antwort = Wärmestromdichte, Proportionalitätskonstante = Wärmeleitfähigkeit
 - zu Wärmeleitfähigkeit von Festkörper tragen sowohl Phononen als auch Elektronen bei
→ bei Metallen überwiegt meist der Beitrag der Elektronen

WMI

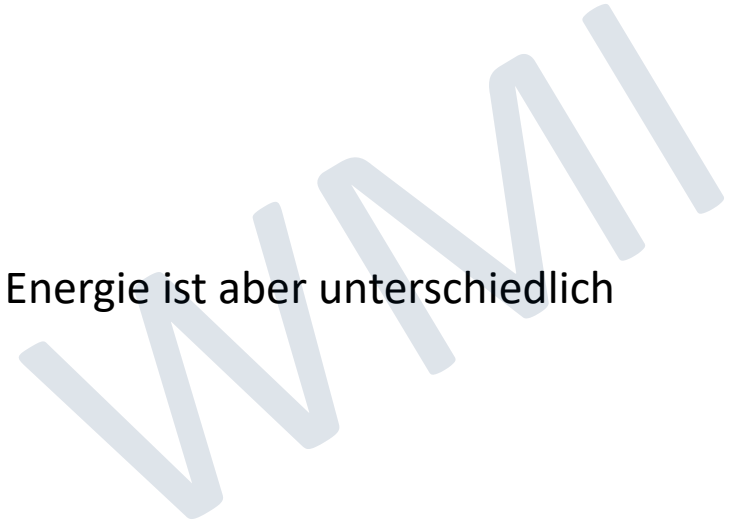
6.4.1 Definition der Wärmeleitfähigkeit

- Wärmeleitfähigkeit = Proportionalitätskonstante zwischen Wärmestromdichte J_h und Temperaturgradient ∇T



$\kappa \left[\frac{\text{W}}{\text{m} \cdot \text{K}} \right] = \text{Wärmeleitfähigkeit}$ (ist im Allgemeinen ein Tensor 2. Stufe)

- **Übliche Nebenbedingung:**
 - es findet kein Teilchenfluss statt
 - es fließen genauso viele Teilchen in beide Richtungen, ihre mittlere Energie ist aber unterschiedlich



6.4.2 Transporttheorie

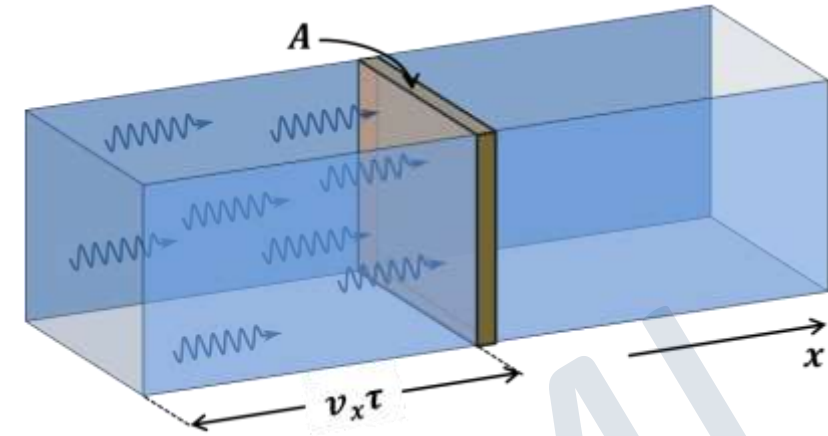
- Beschreibung des Wärmetransports durch Phononen durch einfaches 1D Modell
(genaue Diskussion folgt später → Boltzmann-Transportgleichung)

– wir betrachten 1D-Modell:

- Wärmemenge Q [J], die in Zeit τ in x -Richtung durch Fläche A fließt:
 $Q = \text{Energiedichte} \cdot \text{Volumen des Zylinders}$
(mit Querschnittsfläche A und der Länge $v_x \tau$)

- **Wärmemenge:** $Q = \left(\frac{U}{V}\right) A v_x \tau$

- **Wärmestromdichte:** $J_{h,x} = \frac{Q}{A\tau} = \left[\left(\frac{U}{V}\right) A v_x \tau\right] \frac{1}{A\tau} = \left(\frac{U}{V}\right) v_x$



$$J_{h,x} = \left(\frac{U}{V}\right) v_x = \frac{1}{V} \sum_{\mathbf{q},r} \hbar \omega_{\mathbf{q},r} \left(\frac{1}{2} + \langle n_{\mathbf{q},r} \rangle\right) v_x(\mathbf{q},r) = \frac{1}{V} \sum_{\mathbf{q},r} \hbar \omega_{\mathbf{q},r} \left(\frac{1}{2} + \langle n_{\mathbf{q},r} \rangle\right) \left(\frac{\partial \omega_{\mathbf{q},r}}{\partial q}\right)_x$$

$J_{h,x}$ verschwindet im thermischen Gleichgewicht,
da Besetzungszahlen für q und $-q$ gleich sind und $v_x(\mathbf{q}) = -v_x(-\mathbf{q})$
→ endlicher Wärmestrom nur in Nichtgleichgewichtssituation

6.4.2 Transporttheorie

- Nichtgleichgewicht durch Temperaturgradient

endlicher Wärmestrom für $\langle n_{\mathbf{q},r} \rangle + \frac{1}{2} = \underbrace{\langle n_{\mathbf{q},r} \rangle^0 + \frac{1}{2}}_{\text{liefert keinen Beitrag zu } J_{h,x}} + \underbrace{\langle n_{\mathbf{q},r} \rangle - \langle n_{\mathbf{q},r} \rangle^0}_{\text{liefert Beitrag zu } J_{h,x}}$ $\langle n_{\mathbf{q},r} \rangle^0 =$ Besetzungszahl im thermischen Gleichgewicht

- Wärmestromdichte:

$$J_{h,x} = \frac{1}{V} \sum_{\mathbf{q},r} \hbar \omega_{\mathbf{q},r} (\langle n_{\mathbf{q},r} \rangle - \langle n_{\mathbf{q},r} \rangle^0) v_{r,x}(\mathbf{q})$$

- Frage:

- Wie kann sich Besetzungszahl $\langle n_{\mathbf{q},r} \rangle$ in bestimmtem Raumgebiet ändern?
 - durch Diffusion von Phononen
 - durch Streuprozesse und Zerfall von Phononen durch Mehr-Phononen-Prozesse

$$\frac{d\langle n_{\mathbf{q},r} \rangle}{dt} = \left. \frac{\partial \langle n_{\mathbf{q},r} \rangle}{\partial t} \right|_{\text{Diffusion}} + \left. \frac{\partial \langle n_{\mathbf{q},r} \rangle}{\partial t} \right|_{\text{Zerfall}}$$

Spezialfall der **Boltzmann-Transportgleichung**

wir werden im Folgenden nur **stationäre Prozesse** betrachten, für die $d\langle n_{\mathbf{q},r} \rangle / dt = 0$ gilt

6.4.2 Transporttheorie

- Beschreibung des Zerfalls von Phononen durch Relaxationszeitansatz

$$\left. \frac{\partial \langle n_{\mathbf{q},r} \rangle}{\partial t} \right|_{\text{Zerfall}} = - \frac{\langle n_{\mathbf{q},r} \rangle - \langle n_{\mathbf{q},r} \rangle^0}{\tau}$$

- Beschreibungen des Zerfalls der Phononen durch eine einzige (energieunabhängige) **Relaxationszeit** τ
- Zerfallsrate ist proportional zur Abweichung vom Gleichgewicht

- Beschreibung des Diffusionsterms mit Temperaturgradienten

nach Zeitintervall Δt kommen alle Phononen, die sich am Ort $x - v_{r,x} \Delta t$ befinden, am Ort x an

$$\left. \frac{\partial \langle n_{\mathbf{q},r} \rangle}{\partial t} \right|_{\text{Diffusion}} = \lim_{\Delta t \rightarrow 0} \frac{1}{\Delta t} [\langle n_{\mathbf{q},r}(x - v_{r,x} \Delta t) \rangle - \langle n_{\mathbf{q},r}(x) \rangle] = -v_{r,x} \frac{\partial \langle n_{\mathbf{q},r} \rangle}{\partial x} \simeq -v_{r,x} \frac{\partial \langle n_{\mathbf{q},r} \rangle^0}{\partial T} \frac{\partial T}{\partial x}$$

$$\left. \frac{\partial \langle n_{\mathbf{q},r} \rangle}{\partial t} \right|_{\text{Diffusion}} \simeq -v_{r,x} \frac{\partial \langle n_{\mathbf{q},r} \rangle^0}{\partial T} \frac{\partial T}{\partial x}$$

- stationärer Fall: $\frac{d \langle n_{\mathbf{q},r} \rangle}{dt} = 0 \Rightarrow \left. \frac{\partial \langle n_{\mathbf{q},r} \rangle}{\partial t} \right|_{\text{Diffusion}} = - \left. \frac{\partial \langle n_{\mathbf{q},r} \rangle}{\partial t} \right|_{\text{Zerfall}} \Rightarrow -v_{r,x} \frac{\partial \langle n_{\mathbf{q},r} \rangle^0}{\partial T} \frac{\partial T}{\partial x} = \frac{\langle n_{\mathbf{q},r} \rangle - \langle n_{\mathbf{q},r} \rangle^0}{\tau}$

$$\langle n_{\mathbf{q},r} \rangle - \langle n_{\mathbf{q},r} \rangle^0 = -v_{r,x} \frac{\partial \langle n_{\mathbf{q},r} \rangle^0}{\partial T} \frac{\partial T}{\partial x} \tau$$

6.4.2 Transporttheorie

- Einsetzen von $\langle n_{\mathbf{q},r} \rangle - \langle n_{\mathbf{q},r} \rangle^0 = -v_{r,x} \frac{\partial \langle n_{\mathbf{q},r} \rangle^0}{\partial T} \frac{\partial T}{\partial x} \tau$ in $J_{h,x} = \frac{1}{V} \sum_{\mathbf{q},r} \hbar \omega_{\mathbf{q},r} (\langle n_{\mathbf{q},r} \rangle - \langle n_{\mathbf{q},r} \rangle^0) v_{r,x}$

$$J_{h,x} = -\frac{1}{V} \sum_{\mathbf{q},r} \hbar \omega_{\mathbf{q},r} \tau v_{r,x}^2 \frac{\partial \langle n_{\mathbf{q},r} \rangle^0}{\partial T} \frac{\partial T}{\partial x}$$

- für kubische oder isotrope Festkörper können wir $v_{r,x}^2 = \frac{1}{3} v_r^2$ verwenden und erhalten

$$J_{h,x} = -\frac{1}{3V} \sum_{\mathbf{q},r} \hbar \omega_{\mathbf{q},r} \tau v_r^2 \frac{\partial \langle n_{\mathbf{q},r} \rangle^0}{\partial T} \frac{\partial T}{\partial x}$$

in vielen Fällen können in guter Näherung nur die 3 akustischen Zweige und ihre mittlere Geschwindigkeit $v_s^2 = \frac{1}{3} \sum_{i=1}^3 v_i^2$ verwendet werden

- mit der **spezifischen Wärmekapazität** $c_V = \frac{1}{V} \sum_{\mathbf{q},r} \hbar \omega_{\mathbf{q},r} \frac{\partial \langle n_{\mathbf{q},r} \rangle^0}{\partial T}$ und der **mittleren freien Weglänge** $\ell = v_s \tau$ ergibt sich

$$J_{h,x} = -\frac{1}{3} c_V v_s \ell \frac{\partial T}{\partial x} = -\kappa \frac{\partial T}{\partial x} \quad \Rightarrow \quad \kappa = \frac{1}{3} c_V v_s \ell$$

- Berücksichtigung der Frequenzabhängigkeiten und der unterschiedlichen v_r -Werte der Dispersionszweige

$$\kappa = \frac{1}{3} \sum_r \int d\omega \frac{dc_{V,r}}{d\omega} v_r(\omega) \ell_r(\omega)$$

6.4.2 Transporttheorie

- Interpretation von $\kappa = \frac{1}{3} c_V v_s \ell$

- Wichtig:**
- i. **spezifische Wärme** und **Gruppengeschwindigkeit** der Phononen ist entscheidend
 - akustische Phononen nahe am Zonenrand mit $v_s \simeq 0$ tragen wenig bei
 - optische Phononen tragen ebenfalls wenig bei
 - ii. **mittlere freie Weglänge** ist entscheidend → **Streuprozesse** (Diskussion folgt später)

- andere Formulierung der Wärmestromdichte

$$J_{h,x} = -\frac{1}{3} c_V v_s \ell \frac{\partial T}{\partial x} = -\frac{1}{3} c_V v_s \ell \frac{-\Delta T}{L} = \frac{1}{3} (c_V \Delta T) \cdot \left(v_s \frac{\ell}{L} \right)$$

Überschusswärmedichte
 $\Delta Q = c_V \Delta T$
 wird durch c_V und Temperaturdifferenz
 zwischen heißem und kaltem
 Probenende bestimmt

effektive Geschwindigkeit
 $v_{\text{eff}} = v_s \frac{\ell}{L}$
 für diffusiven Prozess gilt:
 $v_{\text{eff}} \ll v_s$ falls $\ell \ll L$

6.4.2 Transporttheorie

- Vergleich der phononischen Wärmeleitfähigkeit mit dem Ergebnis der kinetischen Gastheorie
 → wir erwarten analoges Ergebnis: Teilchengas entspricht Phonongas

– wir betrachten **Phononen als ein klassisches Gas von Teilchen** (1D-Modell):

- i. mittlere Teilchenflussdichte in x -Richtung: $\frac{1}{2} n \langle v_x \rangle$ mit $n = N/V$
- ii. jedes Teilchen transportiert Wärmemenge: $\tilde{Q} = \tilde{C}_V \Delta T = \frac{c_V}{n} \Delta T$
- iii. Temperaturdifferenz zwischen Punkten mit Abstand ℓ : $\Delta T = -\frac{\partial T}{\partial x} \ell = -\frac{\partial T}{\partial x} \langle v_x \rangle \tau$
- iv. resultierende Wärmestromdichte: $J_{h,x} = \frac{1}{2} n \langle v_x \rangle \tilde{Q} = n \langle v_x \rangle \tilde{C}_V \Delta T$

wichtig: Faktor $\frac{1}{2}$ entfällt, da Teilchen, die sich in beide Richtungen bewegen, eine Wärmemenge transportieren – in eine Richtung Wärme ($+\tilde{C}_V \Delta T$) und in die andere Kälte ($-\tilde{C}_V \Delta T$)

– mit obigen Beziehungen können wir $J_{h,x} = n \langle v_x \rangle \tilde{C}_V \Delta T$ umschreiben in

$$J_{h,x} = n \langle v_x \rangle \tilde{C}_V \Delta T = -n \langle v_x \rangle \frac{c_V}{n} \frac{\partial T}{\partial x} \langle v_x \rangle \tau = -\frac{1}{3} v^2 \tau c_V \frac{\partial T}{\partial x} = -\frac{1}{3} c_V v \ell \frac{\partial T}{\partial x} = -\kappa \frac{\partial T}{\partial x}$$

\uparrow
 $\langle v_x^2 \rangle = \frac{1}{3} v^2$

6.4.3 T -Abhängigkeit der Wärmeleitfähigkeit

$$\kappa = \frac{1}{3} c_V v \ell$$

- Temperaturabhängigkeit der Wärmeleitfähigkeit wird bestimmt durch

- **T -Abhängigkeit von c_V** (bereits bekannt)
- **T -Abhängigkeit von ℓ** , d.h. von Streuprozessen mit Rate τ^{-1}

- **Streuprozesse:**

i. Phonon-Phonon-Streuung

- anharmonische Effekte \rightarrow 3-Phononen-Prozesse mit Streurrate $\tau^{-1} \propto n_{\text{ph}} \rightarrow \ell \propto 1/n_{\text{ph}}$
- **Normalprozesse** ($\mathbf{q}_1 + \mathbf{q}_2 = \mathbf{q}_3$) spielen keine Rolle, da Gesamtimpuls der Phononen konstant bleibt: $\sum_{\mathbf{q},r} n_{\mathbf{q},r} \hbar \mathbf{q}_r = \text{const.}$
- für Wärmewiderstand sind nur **Umklapp-Prozesse** ($\mathbf{q}_1 + \mathbf{q}_2 = \mathbf{q}_3 + \mathbf{G}$) wichtig: (Impuls \mathbf{G} wird an das Gitter abgegeben, so dass sich der Gesamtimpuls der Phononen ändern kann)

ii. Phonon-Defekt-Streuung (auch an Oberfläche)

- Streuwahrscheinlichkeit ist durch Defektdichte n_D gegeben

$$\text{Streurrate für Rayleigh-Streuung: } \tau^{-1} \propto \ell \propto \frac{1}{n_D \omega^4} \quad (\lambda = 2\pi/q \gg \text{Defektgröße})$$

iii. Elektron-Phonon-Streuung (in Metallen, Halbleitern)

- wird erst später behandelt bei Diskussion der Wärmeleitung in Metallen

6.4.3 T -Abhängigkeit der Wärmeleitfähigkeit

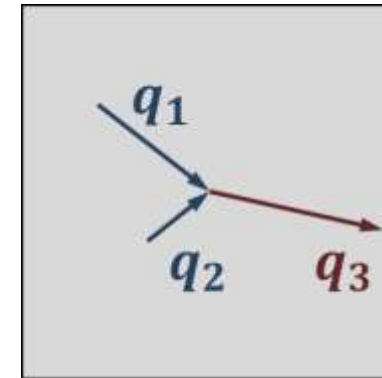
- Matthiessen-Regel

die einzelnen Streuraten addieren sich für voneinander unabhängige Streuprozesse

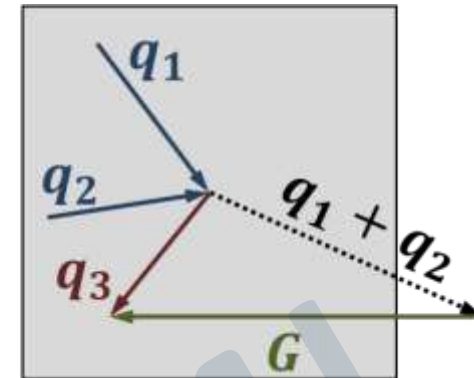
$$\frac{1}{\tau} = \frac{1}{\tau_1} + \frac{1}{\tau_2} + \frac{1}{\tau_3} + \dots \quad \text{bzw.} \quad \frac{1}{\ell} = \frac{1}{\ell_1} + \frac{1}{\ell_2} + \frac{1}{\ell_3} + \dots$$

- Temperaturabhängigkeit der Streurrate für Umklappprozesse

- für Umklappprozesse muss gelten: $|\mathbf{q}_1 + \mathbf{q}_2| \geq \frac{1}{2} |\mathbf{G}|$
- im Rahmen des Debye-Modells (lineare Dispersion) muss Energie der Phononen für Umklappprozesse $\gtrsim k_B \Theta_D / 2$ sein
- Besetzungswahrscheinlichkeit der Phononen mit $\hbar\omega \approx k_B \Theta_D / 2$:



Normalprozess



Umklappprozess

$$\langle n \rangle = \frac{1}{e^{\hbar\omega/k_B T} - 1} = \frac{1}{e^{\Theta_D/2T} - 1}$$

$$\langle n \rangle \propto \begin{cases} e^{-\Theta_D/2T} & \text{für } T \ll \Theta_D \\ T/\Theta_D & \text{für } T \gg \Theta_D \end{cases}$$

$$\ell \propto \begin{cases} e^{\Theta_D/2T} & \text{für } T \ll \Theta_D \\ \Theta_D/T & \text{für } T \gg \Theta_D \end{cases} \quad \ell \propto 1/\langle n \rangle$$

- bei tiefen T wächst ℓ wächst mit abnehmendem T exponentiell an bis $\ell \sim d$ (Probenabmessung) erreicht wird (**Casimir-Bereich** → **Streuung an Probenoberfläche**: $\ell \propto 1/\tau \approx const.$)
- bei hohen T nimmt $\ell \propto 1/T$ mit zunehmendem T ab, da Dichte $\langle n \rangle \propto T$ der Streupartner zunimmt

6.4.3 T -Abhängigkeit der Wärmeleitfähigkeit

- Temperaturabhängigkeit der spezifischen Wärmekapazität (Debye-Modell)

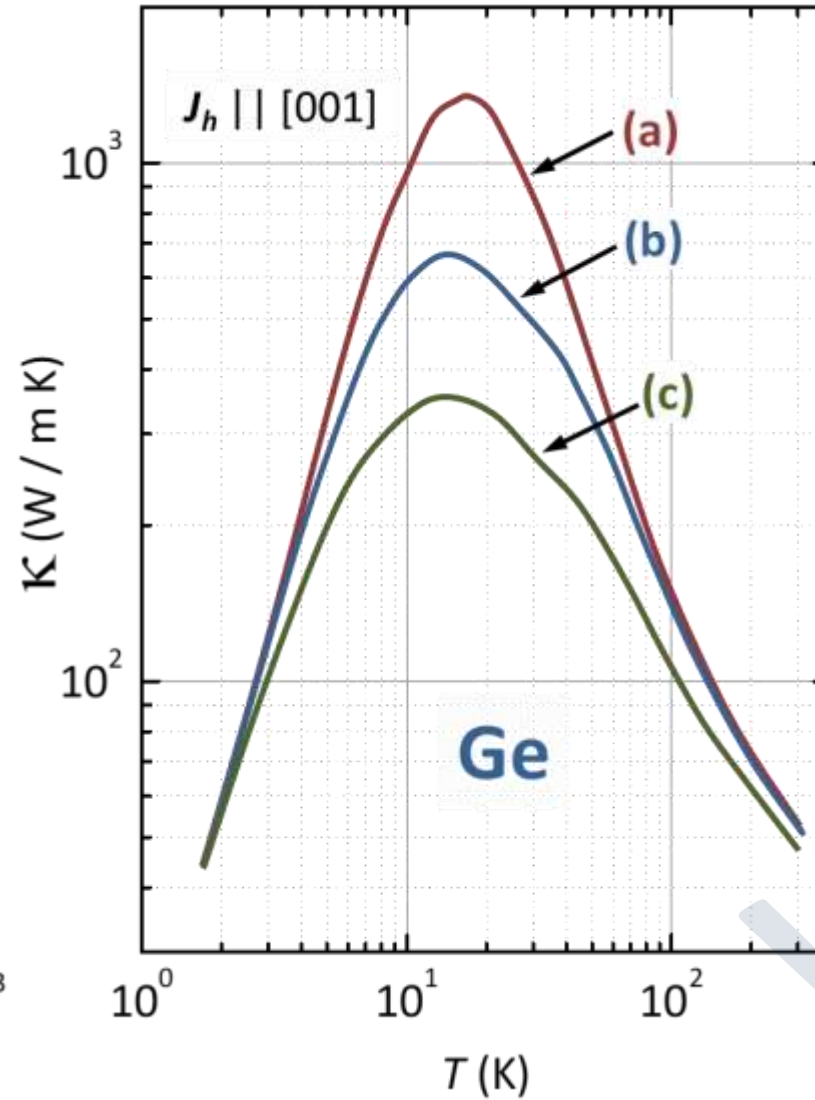
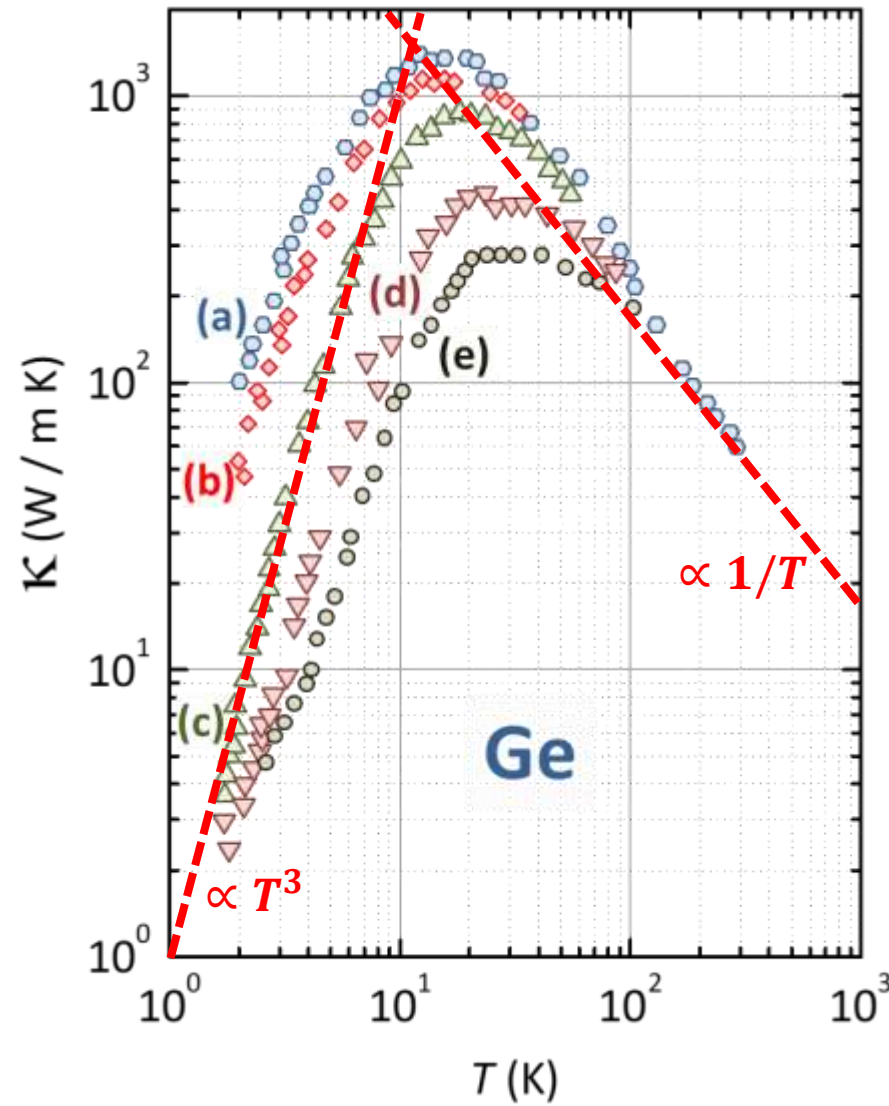
$$c_V^D = \frac{C_V^D}{V} = \begin{cases} \frac{12\pi^4}{5} nk_B \left(\frac{T}{\Theta_D}\right)^3 \propto T^3 & \text{für } T \ll \Theta_D \\ 3nk_B = \text{const.} & \text{für } T \gg \Theta_D \end{cases}$$

$$\ell \propto \begin{cases} \text{const.} & \text{für } T \lll \Theta_D \\ e^{\Theta_D/2T} & \text{für } T \ll \Theta_D \\ \Theta_D/T & \text{für } T \gg \Theta_D \end{cases}$$

→
$$\kappa = \frac{1}{3} c_V v_s \ell \propto \begin{cases} \frac{1}{T} & \text{für } T \gg \Theta_D \quad (\text{Ph - Ph - Streuung}) \\ T^n e^{\Theta_D/2T}, n \sim 3 - 5 & \text{für } T \ll \Theta_D \quad (\text{Ph - Ph - Streuung}) \\ T^3 & \text{für } T \lll \Theta_D \quad (\text{Ph - Defekt - Streuung}) \end{cases}$$



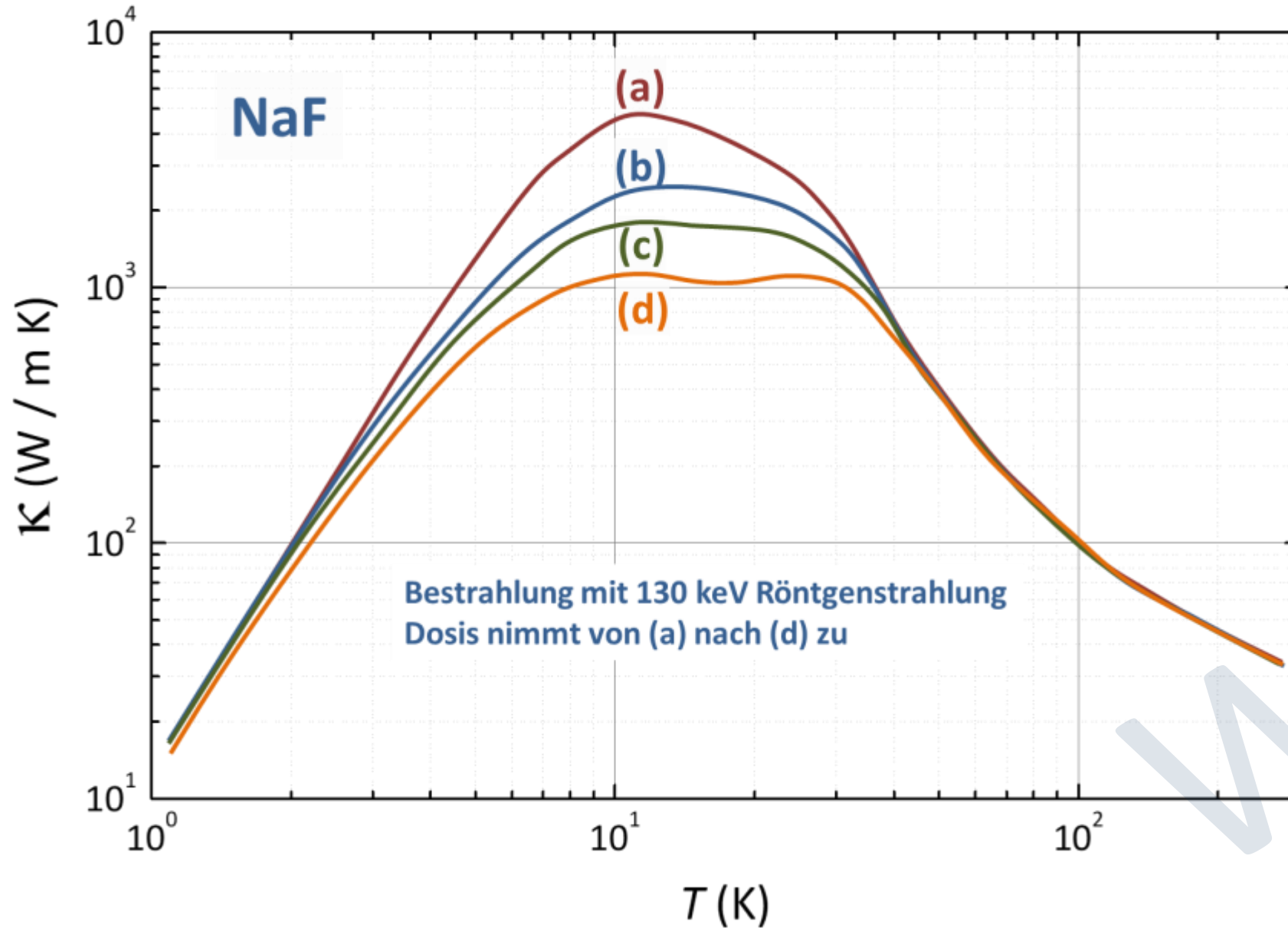
6.4.3 T -Abhängigkeit der Wärmeleitfähigkeit



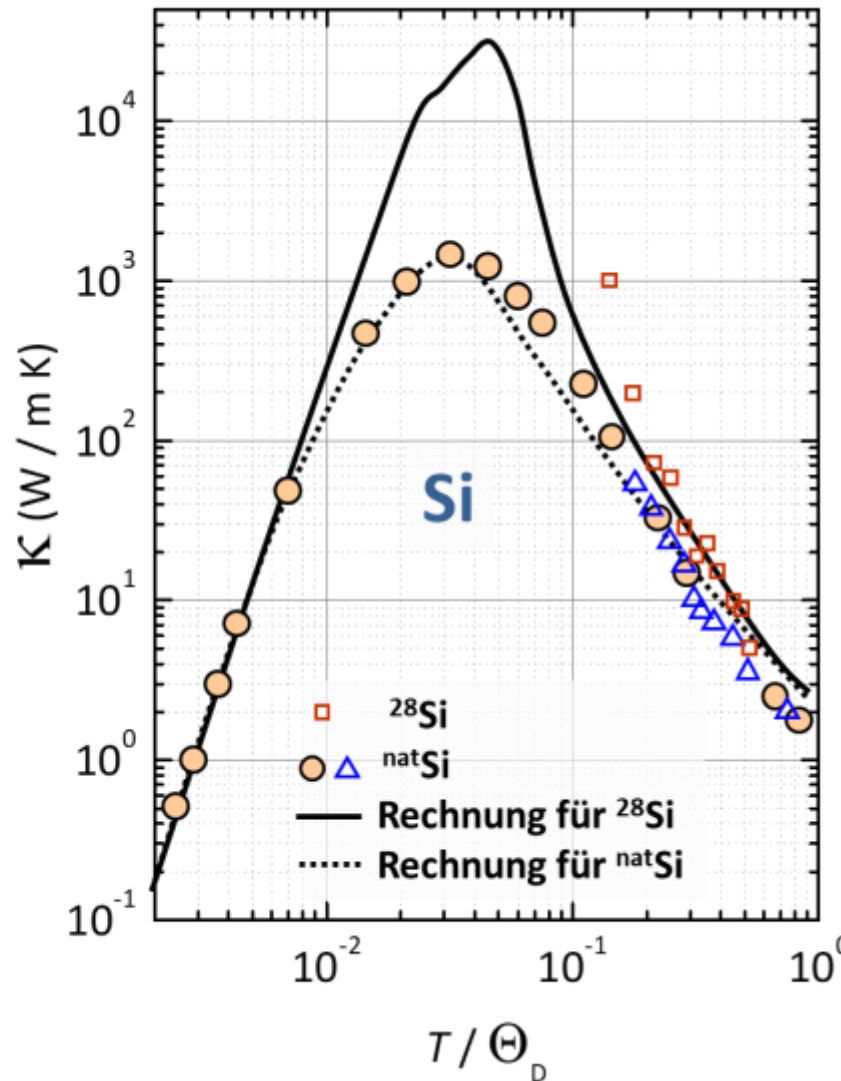
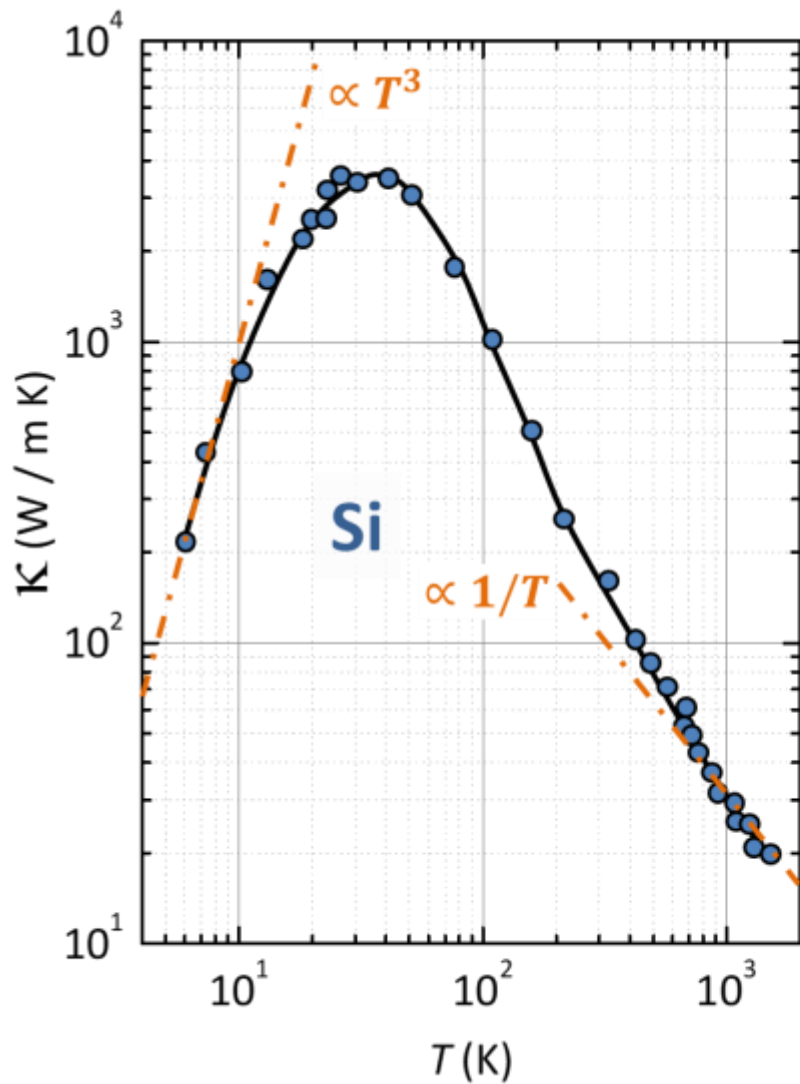
Dotierung:

- (a) $\approx 10^3 \text{ cm}^{-3}$
- (b) $1.0 \cdot 10^{15} \text{ cm}^{-3}$
- (c) $2.3 \cdot 10^{16} \text{ cm}^{-3}$
- (d) $4.2 \cdot 10^{18} \text{ cm}^{-3}$
- (e) $5.0 \cdot 10^{19} \text{ cm}^{-3}$

6.4.3 T -Abhängigkeit der Wärmeleitfähigkeit



6.4.3 T -Abhängigkeit der Wärmeleitfähigkeit



für sehr reine Kristalle wird **Streuung an Isotopen** wichtig:

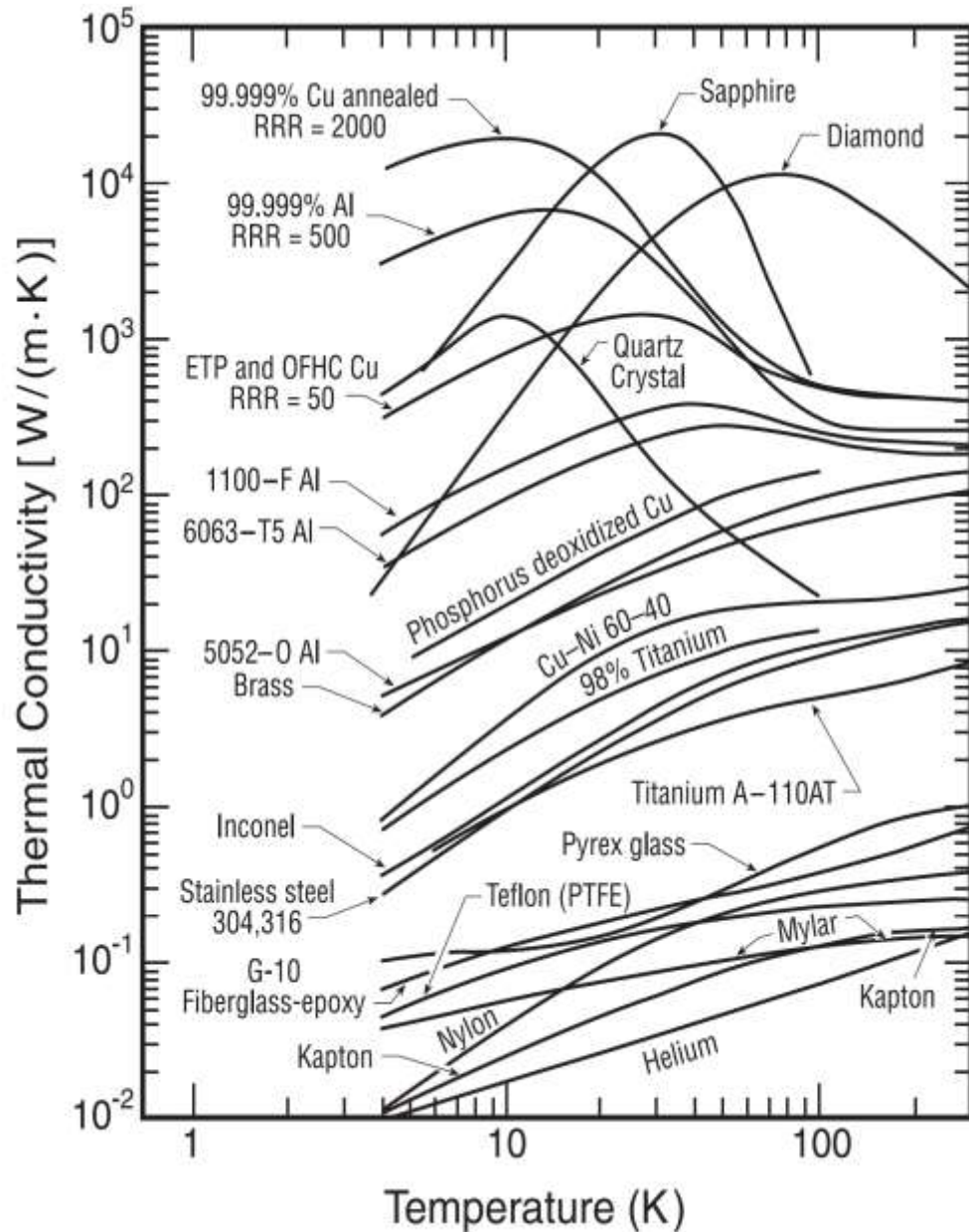
Streuquerschnitt $\sigma \propto \omega^3$
 Zustandsdichte $D(\omega) \propto \omega^2$

$$\ell \propto \tau \propto \frac{1}{n\sigma} \propto \frac{1}{\omega^5}$$

Zahlenbeispiele:

- i. **isotopenreines Si, Ge:**
bis zu etwa 6 000 W/m K
- ii. **synthetischer Saphir:**
bis zu etwa 20 000 W/m K
- iii. **Kupfer:**
bis zu etwa 10 000 W/m K
- iv. **metallisches Natrium**
etwa 85 000 W/m K @ 1.8 K

6.4.3 T -Abhängigkeit der Wärmeleitfähigkeit



Thermische Leitfähigkeit von Festkörpern

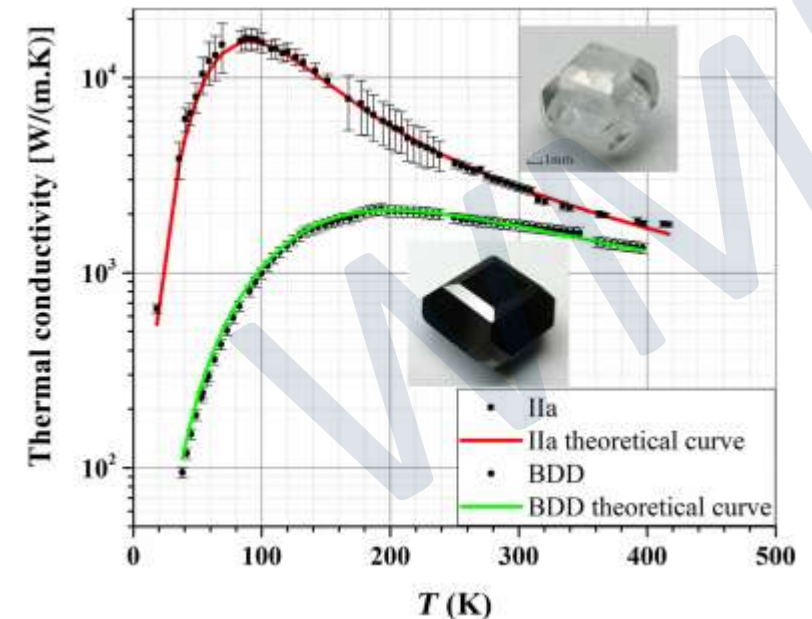
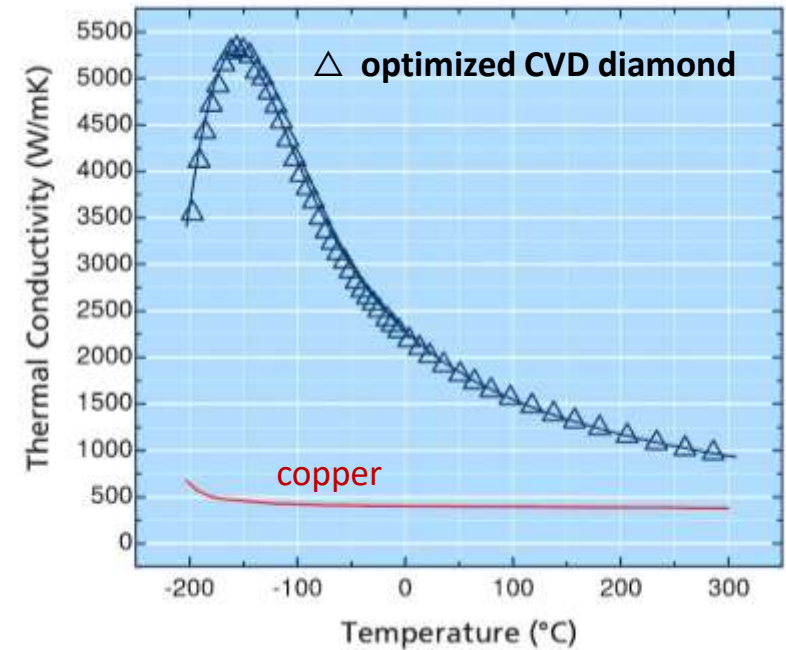
als Funktion der Temperatur (Daten aus Radebaugh 2002, Johnson 1960, White und Meeson 2002, Cryogenic Materials Properties Program Compact Disk 2001).



6.4.3 T -Abhängigkeit der Wärmeleitfähigkeit

| Material | Thermal conductivity $W/(m \cdot K)$ |
|---|---|
| Cement, Portland | 0.29 |
| Concrete, stone | 1.7 |
| Air | 0.025 |
| Wood | 0.04 - 0.4 |
| Alcohols and oils | 0.1 - 0.21 |
| Hollow Fill Fibre Insulation Polartherm | 0.042 |
| Silica Aerogel | 0.004 - 0.04 |
| Soil | 1.5 |
| Rubber | 0.16 |
| Epoxy (unfilled) | 0.59 |
| LPG | 0.23 - 0.26 |
| Epoxy (silica-filled) | 0.30 |
| Water (liquid) | 0.6 |
| Thermal grease | 0.7 - 3 |
| Thermal epoxy | 1 - 7 |
| Glass | 1.1 |
| Ice | 2 |
| Sandstone | 2.4 |
| Stainless steel | 12.11 ~ 45.0 |
| Lead | 35.3 |
| Aluminium | 200 |
| Gold | 318 |
| Copper | 380 |
| Mineral oil | 0.138 |
| Silver | 429 |
| Diamond | 900 - 2320 |

@ 300 K



- **Thermische Ausdehnung:**

Ursache: **Anharmonizität** des Gitterpotenzials $U = U_0 + au^2 - bu^3 - cu^4$

mittlere Auslenkung
der Gitteratome

$$\langle u \rangle = \frac{\int_{-\infty}^{\infty} du \, u e^{-U(u)/k_B T}}{\int_{-\infty}^{\infty} du \, e^{-U(u)/k_B T}}$$

$$e^{-\beta U(u)} = e^{-\beta a u^2} e^{\beta(bu^3 + cu^4)} \approx e^{-\beta a u^2} (1 + \beta b u^3 + \beta c u^4)$$

$$\alpha_L \equiv \left. \frac{1}{L} \frac{\partial L}{\partial T} \right|_p \quad (\text{Längenausdehnung})$$

$$\alpha_V \equiv \left. \frac{1}{V} \frac{\partial V}{\partial T} \right|_p = 3\alpha_L \quad (\text{Volumenausdehnung})$$

$$\langle u \rangle = \frac{3b}{4a^2} k_B T$$

$$\left\{ \begin{array}{l} \alpha_L = \frac{1}{R_0} \left. \frac{\partial \langle u \rangle}{\partial T} \right|_p = \frac{3b}{4a^2} \frac{k_B}{R_0} \\ \alpha_V = 3\alpha_L \end{array} \right.$$

R_0 : Atomabstand für $T \rightarrow 0$

- **Wärmeleitfähigkeit:**

$$\mathbf{J}_h = -\kappa \nabla T$$

Wärmestrom [W/m^2] Wärme fließt von heiß nach kalt T -Gradient [K/m] Wärmeleitfähigkeit [$\text{W}/\text{m}\cdot\text{K}$]

- **Transporttheorie:** Wärmestromdichte = Energiedichte U/V x Geschwindigkeit

$$J_{h,x} = \frac{1}{V} \sum_{\mathbf{q},r} \hbar \omega_{\mathbf{q},r} \left(\frac{1}{2} + \langle n_{\mathbf{q},r} \rangle \right) v_x(\mathbf{q},r) = \frac{1}{V} \sum_{\mathbf{q},r} \hbar \omega_{\mathbf{q},r} \left(\frac{1}{2} + \langle n_{\mathbf{q},r} \rangle \right) \left(\frac{\partial \omega_{\mathbf{q},r}}{\partial q} \right)_x$$

$$\underbrace{\frac{1}{2} + \langle n_{\mathbf{q},r} \rangle^0}_{\text{kein Beitrag: } J_{h,x}^0 = 0} + \underbrace{\langle n_{\mathbf{q},r} \rangle - \langle n_{\mathbf{q},r} \rangle^0}_{J_{h,x} \neq 0}$$

kein Beitrag: $J_{h,x}^0 = 0$ $J_{h,x} \neq 0 \rightarrow$ Abweichung vom thermischen Gleichgewicht ist entscheidend

Zusammenfassung: Teil 14, 17.12.2020/2

Berechnung von $\langle n_{q,r} \rangle - \langle n_{q,r} \rangle^0$ für stationären Fall mit Relaxationszeitnäherung \rightarrow Boltzmann-Transportgleichung

$$\frac{d\langle n_{q,r} \rangle}{dt} = \left. \frac{\partial \langle n_{q,r} \rangle}{\partial t} \right|_{\text{Diffusion}} + \left. \frac{\partial \langle n_{q,r} \rangle}{\partial t} \right|_{\text{Zerfall}}$$

$\stackrel{\text{(stationärer Fall)}}{=} 0$ $\approx -v_{r,x} \frac{\partial \langle n_{q,r} \rangle^0}{\partial T} \frac{\partial T}{\partial x}$ $= -\frac{\langle n_{q,r} \rangle - \langle n_{q,r} \rangle^0}{\tau}$ (Relaxationszeitnäherung)

$$J_{h,x} = -\frac{1}{V} \sum_{q,r} \hbar \omega_{q,r} \tau v_{r,x}^2 \frac{\partial \langle n_{q,r} \rangle^0}{\partial T} \frac{\partial T}{\partial x}$$

$$c_V = \frac{1}{V} \sum_{q,r} \hbar \omega_{q,r} \frac{\partial \langle n_{q,r} \rangle^0}{\partial T}$$

$v_{r,x}^2 = \frac{1}{3} v_r^2$

$$\kappa = \frac{1}{3} c_V v_s \ell$$

andere Schreibweise: $J_{h,x} = \frac{1}{3} (c_V \Delta T) \cdot \left(v_s \frac{\ell}{L} \right)$

Überschusswärmedichte $\Delta Q = c_V \Delta T$ effektive Geschwindigkeit

• **Temperaturabhängigkeit der Wärmeleitfähigkeit:**

$$\kappa = \frac{1}{3} c_V v_s \ell$$

T-Abhängigkeit von c_V

$$c_V \propto T^3 \quad \text{für } T \ll \Theta_D$$

$$c_V = \text{const.} \quad \text{für } T \gg \Theta_D$$



$$\kappa = \frac{1}{3} c_V v_s \ell \propto \begin{cases} \frac{1}{T} & \text{für } T \gg \Theta_D \quad (\text{Ph-Ph-Streuung}) \\ T^n e^{\Theta_D/2T}, n \sim 3-5 & \text{für } T \ll \Theta_D \quad (\text{Ph-Ph-Streuung}) \\ T^3 & \text{für } T \ll \ll \Theta_D \quad (\text{Ph-Defekt-Streuung}) \end{cases}$$

T-Abhängigkeit von ℓ (Streuprozesse)

\rightarrow dominiert von **Umklapp-Prozessen**

$$\langle n \rangle \propto \begin{cases} e^{-\Theta_D/2T} & \text{für } T \ll \Theta_D \\ T/\Theta_D & \text{für } T \gg \Theta_D \end{cases}$$

mit $\ell \propto 1/n_{\text{ph}}$

$$\ell \propto \begin{cases} \Theta_D/T & \text{für } T \gg \Theta_D \\ \exp(\Theta_D/2T) & \text{für } T \ll \Theta_D \\ \text{const.} & \text{für } T \ll \ll \Theta_D \end{cases}$$

